



Géométrie Algorithmique

Cours réalisé par Stéphane BESSY

Pour le second semestre du M1 Informatique

Version 1.2

Relecteurs $\left\{ \begin{array}{ll} \text{Erik MARTIN-DOREL} & (\text{M1 Maths-Info}) \\ \text{Boris MASSARÉ} & (\text{M1 Maths-Info}) \\ \text{Pierre NOYARET} & (\text{M1 Info}) \end{array} \right.$

Année universitaire 2007-2008

Table des matières

1	Intersection dans un ensemble de segments	3
1.1	Position du problème	3
1.2	Tri de segments	3
1.2.1	Primitives	4
1.2.2	Structures de données	4
1.3	L'algorithme	5
1.3.1	Principe	5
1.3.2	L'algorithme proprement dit	6
1.3.3	Preuve de l'algorithme	6
1.3.4	Complexité	7
1.3.5	Remarque	7
2	Calcul d'enveloppe convexe dans le plan	8
2.1	Définitions et problématique	8
2.2	Algorithme de Jarvis : 1973	11
2.2.1	Principe	11
2.2.2	L'algorithme	11
2.2.3	Analyse de l'algorithme	11
2.3	Algorithme de Graham : 1972	12
2.3.1	Principe	12
2.3.2	Structure de données	12
2.3.3	L'algorithme	13
2.3.4	Analyse de l'algorithme	13
2.4	Rappels mathématiques	13

Table des figures

1.1	Ordre sur les segments	3
1.2	Exemple	4
1.3	Insertion d'un sommet	5
1.4	Suppression d'un sommet	5
1.5	Preuve - Intersection multiple	6
1.6	Preuve - Schéma de la situation	6
1.7	Application au recouvrement d'objets	7
2.1	Enveloppe convexe de points du plan	8
2.2	Enveloppe convexe de points de l'espace	8
2.3	Un polygone simple	9
2.4	Un polygone pas simple	9
2.5	Un ensemble convexe	10
2.6	Un ensemble pas convexe	10
2.7	Intersection de demi-plans	10
2.8	Jarvis - Illustration du principe	11
2.9	Graham - Illustration du principe	12

Chapitre 1

Intersection dans un ensemble de segments

1.1 Position du problème

Soit (s_1, \dots, s_n) un ensemble de n segments dans le plan. Chaque segment est donné par ses deux extrémités :

$$s_i = [p_i, q_i] \quad \forall i, 1 \leq i \leq n \quad \text{avec par convention : } p_i \text{ est à gauche de } q_i.$$

On fait l'hypothèse qu'il n'existe aucun segment vertical.

Question : Existe-t-il deux segments s_i et s_j qui s'intersectent (avec $i \neq j$) ?

En T.D., nous avons pu déterminer si deux segments s'intersectent en $\Theta(1)$. Ainsi en testant tous les couples, on obtient un algorithme en $\Theta(n^2)$. Nous allons présenter un algorithme en $\Theta(n \log n)$ qui utilise une technique de balayage du plan avec un faisceau vertical, de la gauche vers la droite.

1.2 Tri de segments

À un instant t , nous comparons les segments coupés par le faisceau. Ce qui nous donne un ordre sur les segments :

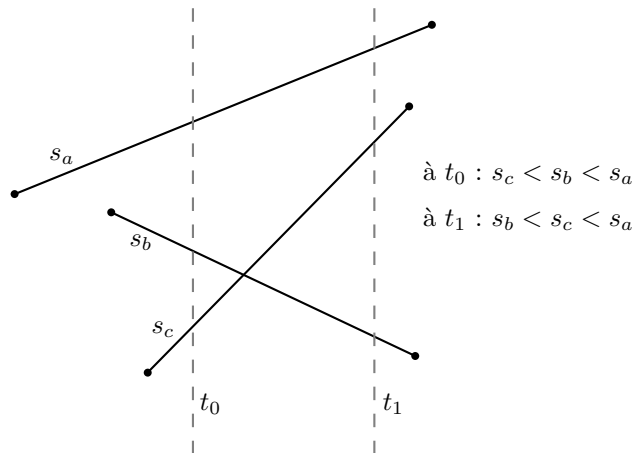


FIG. 1.1 – Ordre sur les segments.

Au temps t , $s < s'$ si le point d'intersection de s avec le faisceau a une ordonnée inférieure à celle du point d'intersection de s' avec le faisceau.

Remarque : Une intersection entre deux segments est repérée par une permutation de ces deux segments dans les ordres associés à deux dates différentes.

Nous allons gérer deux ensembles de données :

- un ordre total qui évolue ;
- un ensemble fini de dates par lesquelles nous nous intéresserons à l'ordre précédent (échancier).

L'échancier contiendra les $2n$ abscisses des segments triés par ordre croissant.

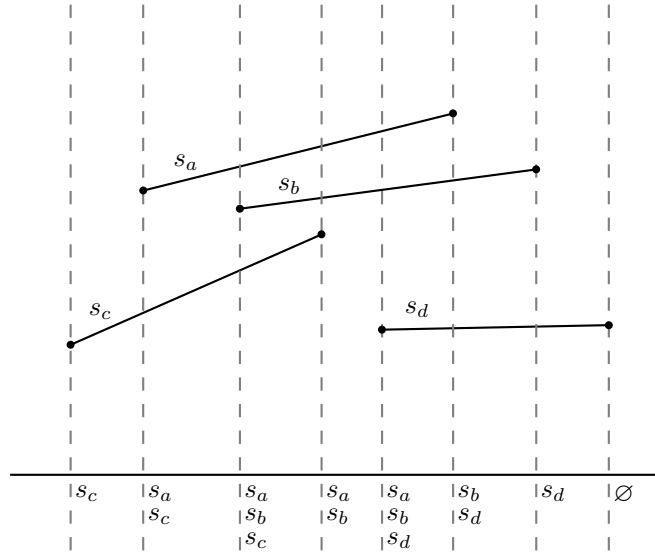


FIG. 1.2 – Exemple.

1.2.1 Primitives

(T désigne l'ordre sur les segments.)

- **Insérer**(s, T) : insère s dans T (*);
- **Supprimer**(s, T);
- **AuDessus**(s, T) : retourne le successeur de s dans l'ordre T ;
- **AuDessous**(s, T) : retourne le prédécesseur de s dans l'ordre T .

(*) pour connaître la position d'un segment $s = [p, q]$ par rapport à $s' = [p', q']$ précédemment inséré :
si $\det(\overrightarrow{p'q'}, \overrightarrow{p'p}) > 0$
alors s est au-dessus de s' ,
sinon s est au-dessous de s' .

1.2.2 Structures de données

	tableau	liste doublement chaînée	arbre binaire (**)
Insérer	$\Theta(n)$	$\Theta(n)$	$\Theta(\text{hauteur})$
Supprimer	$\Theta(n)$	$\Theta(1)$	$\Theta(\text{hauteur})$
AuDessus	$\Theta(1)$	$\Theta(1)$	$\Theta(\text{hauteur})$
AuDessous	$\Theta(1)$	$\Theta(1)$	$\Theta(\text{hauteur})$

(**) arbre binaire : valeur(fil gauche) \leq valeur(père) \leq valeur(fil droit).

- arbre Rouge et Noir : hauteur en $2 \log n$;
- arbre AVL : hauteur en $\log n$.

1.3 L'algorithme

1.3.1 Principe

À l'insertion, nous testons s'il y a une intersection avec celui du dessus et celui du dessous :

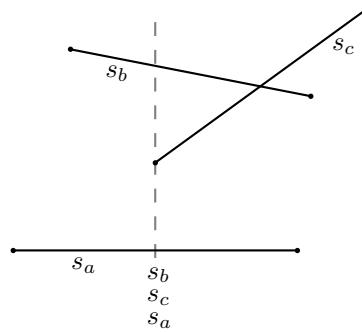


FIG. 1.3 – Insertion de s_c .

À la suppression, nous testons si les segments successeur et prédécesseur s'intersectent :

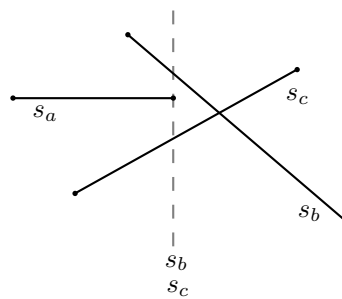


FIG. 1.4 – Suppression de s_a .

1.3.2 L'algorithme proprement dit

Algorithme 1 : Intersection de segments.

Données : Un ensemble de segments.

Sorties : VRAI si deux segments s'intersectent, sinon FAUX.

début

$T \leftarrow \emptyset$

Trier les abscisses des extrémités des segments (échancier)

pour chaque point r de l'échancier **faire**

si r est extrémité gauche d'un segment s **alors**

 Insérer(s, T)

si AuDessus(s, T) et s s'intersectent **ou** AuDessous(s, T) et s s'intersectent **alors**

retourner VRAI

si r est extrémité droite d'un segment s **alors**

si AuDessus(s, T) et AuDessous(s, T) s'intersectent **alors**

retourner VRAI

 Supprimer(s, T)

retourner FAUX

fin

1.3.3 Preuve de l'algorithme

Si l'algorithme renvoie VRAI : il existe bien deux segments qui s'intersectent !

Si l'algorithme renvoie FAUX : supposons qu'il existe deux segments qui s'intersectent, et notons I l'intersection la plus à gauche de l'ensemble des segments. S'il y a plus de deux segments qui contiennent I , on en choisit deux consécutifs dans l'ordre circulaire :

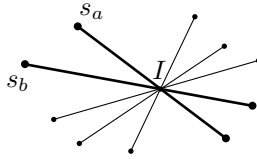


FIG. 1.5 – Intersection multiple.

Si à l'insertion de s_a au temps t , l'algorithme n'a pas détecté I , alors s_b n'est pas prédécesseur de s_a . Aucun des segments inclus entre s_a et s_b dans l'ordre (au temps t) n'intersecte s_a ou s_b car I est le point d'intersection le plus à gauche. Notons s_c celui de ces segments dont l'extrémité droite est la plus à droite :

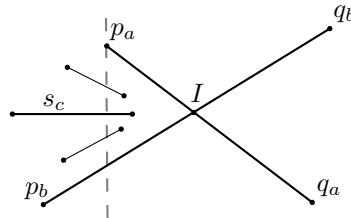


FIG. 1.6 – Schéma de la situation.

À la suppression de s_c , nous devons tester l'intersection entre s_a et s_b : l'algorithme trouve I !

□

1.3.4 Complexité

Bilan :

- tri de $2n$ points ;
- n appels à **Insérer** et **Supprimer** ;
- $2n$ appels à **AuDessous** et **AuDessus**.

D'où une complexité en :

$\Theta(n^2)$ avec des tableaux.

$\Theta(n \log n)$ avec des arbres de recherche de hauteur $\log n$.

□

1.3.5 Remarque

Un tel algorithme peut être utilisé pour le recouvrement d'objets :

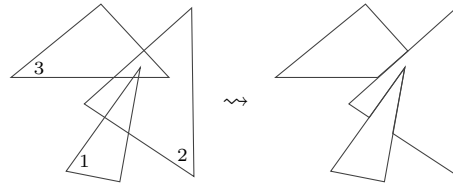


FIG. 1.7 – Application au recouvrement d'objets graphiques.

Chapitre 2

Calcul d'enveloppe convexe dans le plan

2.1 Définitions et problématique

But : Trouver la plus petite surface (resp. volume) convexe qui contienne un ensemble de points de \mathbb{R}^2 (resp. de \mathbb{R}^3).

Exemple 1. Dans \mathbb{R}^2 :

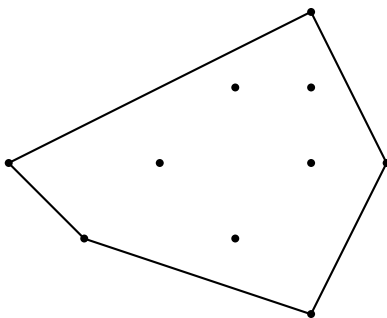


FIG. 2.1 – Enveloppe convexe de 10 points du plan.

Exemple 2. Dans \mathbb{R}^3 :

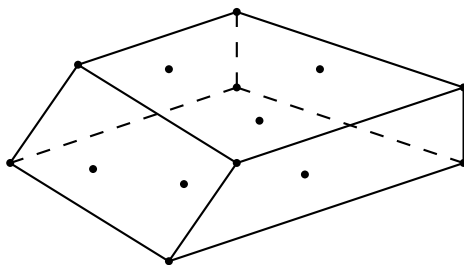


FIG. 2.2 – Enveloppe convexe de 14 points de l'espace.

Dans tout ce qui suit, on se placera systématiquement dans le plan euclidien \mathbb{R}^2 .

Par commodité, on notera $[[a, b]]$ l'ensemble $\mathbb{Z} \cap [a, b]$ pour a et b entiers.

Définition 1. Un **polygone** est une suite finie de segments $S_i = [p_i, q_i]$, $i \in [[1, n]]$ vérifiant :

$$\begin{cases} q_i = p_{i+1} \text{ pour tout } i \in [[1, n-1]] ; \\ q_n = p_1. \end{cases}$$

Quelquefois (par abus de langage), on appellera également “polygone” l'intérieur d'un tel polygone.

Définition 2. Un polygone est dit **simple** si pour tous les $i \neq j$ dans $[[1, n]]$ tels que S_i s'intersecte avec S_j , alors i et j sont consécutifs et les segments S_i et S_j s'intersectent uniquement en leurs extrémités.

Exemple 3.

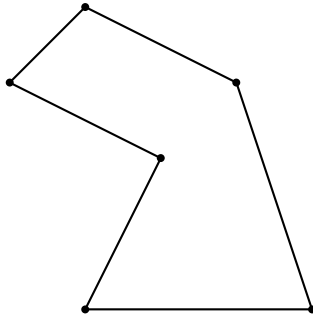


FIG. 2.3 – Un polygone simple.

Exemple 4.

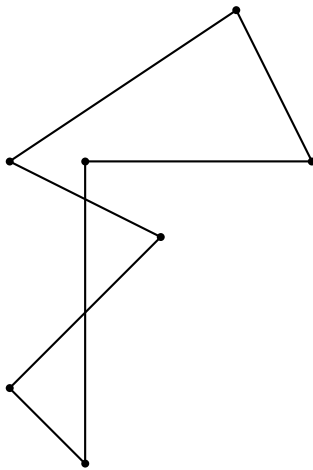


FIG. 2.4 – Un polygone pas simple !

Définition 3. Un ensemble $E \subseteq \mathbb{R}^2$ est dit **convexe** si :

$$\forall a, b \in E \text{ et } \forall c \in [a, b], \text{ on a } c \in E.$$

Exemple 5.

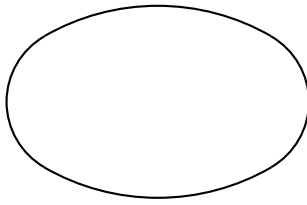


FIG. 2.5 – Un ensemble convexe.

Exemple 6.

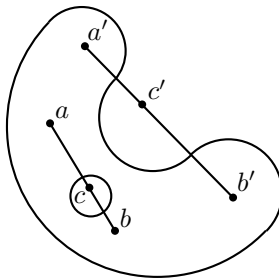


FIG. 2.6 – Un ensemble pas convexe.

Remarque 1. *Les polygones convexes sont des intersections de demi-plans... Plus précisément : un polygone convexe est exactement une intersection bornée non vide d'un nombre fini de demi-plans (résultat admis).*

Exemple 7.

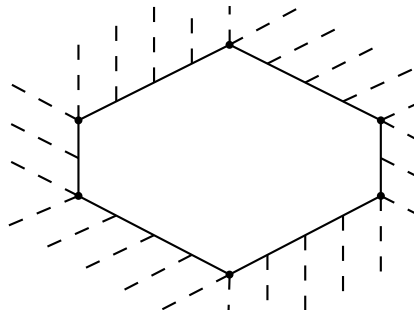


FIG. 2.7 – Intersection de demi-plans.

Définition 4.

L'**enveloppe convexe** d'un ensemble fini Q de points du plan est le plus petit polygone convexe qui contient Q . On la note : $EC(Q)$.

Remarque 2. Ici, « le plus petit » est au sens de l'inclusion.

Problème : Comment calculer $EC(Q)$?

Complexité :

La ligne 7 peut prendre un temps en $\Theta(n)$.

La boucle s'exécute autant de fois qu'il y a de sommets dans l'enveloppe convexe de Q .

Donc en tout, on est en $\Theta(n \cdot h)$ où $h := |EC(Q)|$.

Or $EC(Q) \subseteq Q \implies h = |EC(Q)| \leq |Q| = n$.

Donc dans le pire des cas, on obtiendra une complexité en $\mathbf{O}(n^2)$. □

Remarque 3. *Tout ceci peut s'étendre à la dimension 3.*

2.3 Algorithme de Graham : 1972

2.3.1 Principe

Tout d'abord, on trie les sommets par angle polaire croissant.

Puis à chaque nouveau sommet :

- si on tourne à gauche, alors on continue à empiler le sommet ;
- si on tourne à droite, alors on revient d'un cran en arrière.

Exemple 9.

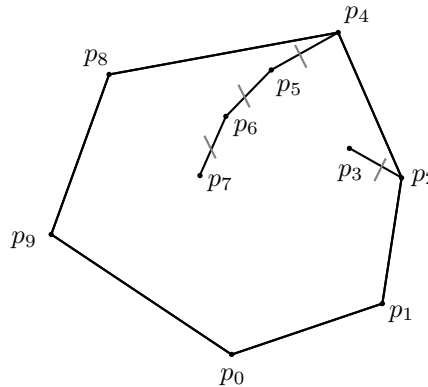


FIG. 2.9 – Graham : Illustration du principe.

2.3.2 Structure de données

Comme nous l'avons suggéré au paragraphe précédent, nous aurons besoin d'utiliser une structure de **pile**, notée S .

Les primitives associées à notre pile S seront :

- **Dernier**(S) : renvoie le sommet tout en haut de la pile S ;
- **AvantDernier**(S) : renvoie le sommet juste avant **Dernier**(S) ;
- **Empiler**(v, S) : empile le sommet v sur S ;
- **Dépiler**(S) : dépile le dernier élément de S .

2.3.3 L'algorithme

Algorithme 3 : Graham.

Données : Q = un ensemble fini de points du plan appelés sommets.

Sorties : S = l'enveloppe convexe de Q empilée dans le sens direct.

début

```
// ***** PHASE 1 : *****
 $p_0 \leftarrow$  le sommet d'ordonnée minimale (en cas d'égalité, prendre celui qui est situé le plus à gauche).
 $p_1, \dots, p_n \leftarrow$  les points restants de  $Q$ , triés par angle polaire croissant autour de  $p_0$ ,
à partir de la demi-droite horizontale issue de  $p_0$  vers la droite.
(En cas d'égalité entre plusieurs sommets, supprimer ces derniers sauf celui qui est le plus éloigné de  $p_0$ .)

// ***** PHASE 2 : *****
Empiler( $p_0, S$ )
Empiler( $p_1, S$ )
Empiler( $p_2, S$ )
pour chaque  $i = 3$  jusqu'à  $n$  faire
    tant que  $p_i$  est à droite de [AvantDernier( $S$ ), Dernier( $S$ )] faire
        Dépiler( $S$ )
    Empiler( $p_i, S$ )
retourner  $S$ 
fin
```

2.3.4 Analyse de l'algorithme

Preuve :

On admet la validité de l'algorithme. □

Complexité :

Phase 1 \rightarrow le tri est en $\Theta(n \log n)$;

Phase 2 \rightarrow naïvement en $\mathbf{O}(n^2)$,

mais en fait, chaque point est empilé (et éventuellement dépilé) au plus une fois,
donc en $\Theta(n)$.

D'où une complexité en $\Theta(n \log n)$. □

Remarque 4. Nous verrons en T.D. que $\Omega(n \log n)$ est une borne inférieure pour le calcul d'enveloppe convexe. Autrement dit, l'algorithme de Graham est "optimal".

2.4 Rappels mathématiques

- $f(n) = \Omega(n \log n)$
 $\iff \exists \alpha$ telle que $f(n) \geq \alpha \cdot n \log n$ à partir d'un certain rang ;
- $f(n) = \mathbf{O}(n \log n)$
 $\iff \exists \beta$ telle que $f(n) \leq \beta \cdot n \log n$ à partir d'un certain rang ;
- $f = \Theta(n \log n)$
 $\iff \exists \alpha, \beta$ telles que $\alpha \cdot n \log n \leq f(n) \leq \beta \cdot n \log n$ à partir d'un certain rang.